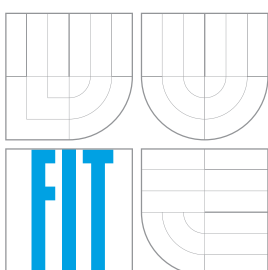


VYSOKÉ UČENÍ TECHNICKÉ V BRNĚ  
BRNO UNIVERSITY OF TECHNOLOGY



FAKULTA INFORMAČNÍCH TECHNOLOGIÍ  
ÚSTAV POČÍTAČOVÝCH SYSTÉMŮ  
FACULTY OF INFORMATION TECHNOLOGY  
DEPARTMENT OF COMPUTER SYSTEMS

## VÝUKOVÝ PROGRAM PRO DEMONSTRACI PRINCIPU SPLINE KŘIVEK

TUTORIAL FOR DEMONSTRATING PRINCIPLES OF SPLINE CURVES

BAKALÁŘSKÁ PRÁCE  
BACHELOR'S THESIS

AUTOR PRÁCE  
AUTHOR

SLAVOMÍR KRBYLA

VEDOUCÍ PRÁCE  
SUPERVISOR

Doc. PŘEMYSL KRŠEK, Ph.D.

BRNO 2009

## **Abstrakt**

Bakalárska práca sa zaoberá návrhom a implementáciou výkového programu pre demonštráciu spline kriviek. Program založený na framework Qt v programovacom jazyku C++ dáva užívateľovy možnosť vyskúšať si zadávanie niektorých v počítačovej grafike často používaných kriviek. Pritom sa môže bižšie zamerať na ich vybrané vlastnosti.

## **Klíčová slova**

Spline krivka krivky výukový demonštračný program spojitosť stupeň Ferusnova Kochanek-Bartels Catmull-Rom Bezierové NURBS DeCasteljau kubika racionálne neracionálne

## **Abstract**

The bachelor thesis deals with the design and the implementation of tutorial program for demonstration of spline curves. The program is based on the Qt framework ported into the C++ programming language. User can interact with feeding in some of the splines mostly used in computer graphic. He can also focus on spline characteristics.

## **Keywords**

Spline curve curves tutorial demonstrate program continuity level Ferguson Kochanek-Bartels Catmull-Rom Bezier NURBS DeCasteljau cubic rational irrational

## **Citace**

Slavomír Krbyla: Výukový program pro demonstraci principu spline křivek, bakalářská práce, Brno, FIT VUT v Brně, 2009

# Výukový program pro demonstraci principu spline křivek

## Prohlášení

Prohlašuji, že jsem tuto bakalářskou práci vypracoval samostatně pod vedením pana Přemysla Krška

.....  
Slavomír Krbyla  
26. ledna 2009

© Slavomír Krbyla, 2009.

*Tato práce vznikla jako školní dílo na Vysokém učení technickém v Brně, Fakultě informačních technologií. Práce je chráněna autorským zákonem a její užití bez udělení oprávnění autorem je nezákonné, s výjimkou zákonem definovaných případů.*

# Obsah

|          |   |           |
|----------|---|-----------|
| <b>1</b> | <b>Úvod</b>   | <b>2</b>  |
| <b>2</b> | <b>Formulácia cieľa</b>                                       | <b>3</b>  |
| <b>3</b> | <b>Teória krviek</b>  | <b>4</b>  |
| 3.1      | Reprezentácia krviek . . . . .                                | 4         |
| 3.2      | Spojitosť . . . . .   | 6         |
| 3.3      | Modelovanie krviek . . . . .                                  | 7         |
| <b>4</b> | <b>Analýza typov krivek</b>                                   | <b>10</b> |
| 4.1      | Interpolačné krivky . . . . .                                 | 10        |
| 4.1.1    | Hermitovské kubiky . . . . .                                  | 10        |
| 4.1.2    | Kochaek-Bartels spline . . . . .                              | 11        |
| 4.1.3    | Catmull-Rom spline . . . . .                                  | 12        |
| 4.2      | Aproximačné krivky . . . . .                                  | 12        |
| 4.2.1    | Bezierové krivky . . . . .                                    | 12        |
| 4.2.2    | NURBS . . . . .   | 14        |
| <b>5</b> | <b>Vlastná implementácia</b>                                  | <b>16</b> |
| 5.1      | Programovací jazyk, framework a vývojové prostredie . . . . . | 16        |
| 5.2      | Popis tried . . . . .   | 16        |
| 5.3      | Vzhľad fomrmuláru . . . . .                                   | 18        |
| 5.3.1    | Hlavné okno . . . . .   | 18        |
| 5.3.2    | Parametre krviek . . . . .                                    | 19        |
| 5.4      | Testovanie . . . . .  | 21        |
| <b>6</b> | <b>Záver</b>  | <b>22</b> |

# Kapitola 1

## Úvod

Rýchli vývoj informačných technológií rozšíril sféru ich použitia už skoro do každej oblasti. Medzi výjimky nepatrí ani použitie pre interaktívnu výuku. Takýchto programov v dnešnej dobe nájdeme mnoho.

Výukovým programom obecne rozumieme konkretény software, ktorý je určený k výukovým účelom a je schopný plniť aspoň jednu z didaktických funkcií ktorými sú motivácia, expozícia učiva, upevňovanie osvojených vedomostí a dovedností a kontrola získanej úrovne vedomostí a dovedností.[6] Demonštračný program sa zaoberá práve expozíciou učiva a slúži ako pomocka učiteľovy pri vyučovaní, demonštráciou danej látky.

Pri demonštrácii princípu spline krviek rozoberáme princíp jednotlivých metód pre vykreslovanie krviek, snažíme sa ukázať ich vlastnosti a taktiež vstupné parametre, ktoré určujú tvar krvky. Pre jednoduchšie a prehľadnejšie zobrazenie budeme používať krvky dvojrozmerné, ktoré nám na demonštráciu princípu spline krviek bohaté postačujú.

Na začiatku dokumentu si formulujeme cieľ našej práce a pozrieme sa na dvôvody jej implementácie, potom nasleduje kapitola Teória krviek v ktorej bližšie pozrieme na teoretickú časť krviek, ktorá nám priblíži ich matematickú reprezentáciu, spôsoby ako sa môžu medzi sebou jednotlivé krvky spájať, ako aj spôsoby ich modelovania. Ďalšia kapitola s názvom Analýza typu krviek bude venovaná blišie jednotlivým typom krviek použitých v našom programe, ich matematickému zápisu, ako aj ich najvýznamnejším vlastnostiam a parametrom. V kapitole Vlastná implementácia sa zameráme na popis implementovaného programu, rozoberieme použité implementačné prostredie a framework, popíšeme si jednotlivé triedy a povieme si aj niečo k ovládaniu programu.

## Kapitola 2

# Formulácia cieľa

Našim cieľom je vytvoriť program spustiteľný v operačnom systéme Microsoft Windows v jazyku C++ s frameworkom Qt vo vývojovom porstredí Visual Studio 2005. Implementované typy krviek budú Fergusnove krvky, Kochanek-Bartels spline a Catmull-Rom Spline s interpolačných krviek. S pomedzi aproximačných krviek budeme implementovať Bezierové krvky a to konkrétnie Obecné Bezierové krvky, Racionálne Bezierové krvky, Bezierové kubiky a algoritmus DeCasteljau používaný pre vykreslovanie týchto krviek, a krvky NURBS - neuniformný racionálny B-Spline. Princíp krviek sa demonštruje pomocov vlastností a funkcií jedotlivých typov krviek a to hlavne spojitosť, polynomiálna báza, stupeň krvky ako aj spôsob ich vykreslovania. Aby sme boli schopní pochopiť jedotlivé typy krviek a ich princípy, musíme sa najprv zamerať na teóriu krviek a zistiť čo vlastne jednotlivé vlastnosti znamenajú, čo sú ich výhody a nevýhody a podľa toho ich začleniť do programu a nájsť spôsob ako tieto princípy prezentovať užívateľovi čo najjednoduchšie a najintuitívnejšie.

Existuje veľa programov podobných tomu našemu. Väčšinov sa jedná o kvalitné výukové programy, ktoré sa vo väčšine prípadov neveľmi odlišujú od našeho programu. Ale tieto malé odlišnosti práve viedli ku nevýhodam pri istých spôsoboch ich použitia, vďaka čomu vznikol náš program. Mezi spomínané nevýhody patrí napríklad práca v online režime pri výukových programoch pomocov WWW, alebo prítomnosť teoretickej časti, ktorá je nadbytočná a niekedy ja mätúca keď sa program používa pre demostráciu učiva učiteľom. Ďalšou nevýhodou je aj že niektoré programy sa zameriavajú iba na niektoré typy krviek (napríklad iba na interpolačné alebo iba aproximačné, alebo len konkrétnie na jeden typ krviek).

# Kapitola 3

## Teória krviek

Aby sme mohli začať rozoberať jednotlivé typy krviek, musíme najprv pochopiť čo to vlastne krvky sú, ich význam v počítačovej grafike, takisto ako sa zoznámiť s matematickým spôsobom ich zápisu a osvetliť si bliššie niektoré ich základné vlastnosti a parametre.

Krvky sa požívajú v počítačovej grafike a súvisejúcich aplikáciach na mnoho rôznych miestach. Stretávame sa s nimi pri modelovaní v dvoch dimensiach, pri definícii fontov, pri určovaní dráhy pohybujúcich sa objektov v počítačovej animácii, pri definícii objektov pre šablónovanie ai. Rôzne aplikácie majú rôzne požiadavky a preto je táto oblasť pomerne široká.

V počítačovej grafike je pre väčšinu operácií objektov v počítači nutné ich exaktné vymedzenie. Objekty sú obyčajne množiny bodov, ktoré sú v rovine obmedzené krvkami. Kvôli tomu vznikol požiadavok zjednodušíť fyzické vkladanie pomocou vstupného zariadenia práve pre krvky. Krvky sú najlepšie reprezentované funkciami a tie je problematické zadávať. Pri ich zadávaní v tvare  $y = f(x_1, x_2, \dots, x_n)$  si len ľažko dokážeme predstaviť tvar krvky. Hľadajú sa preto metódy, ktoré umožnia užívateľovi čo najjednoduchšie zadávať neakú krvku, a to pokým je možné tak aby sa dal dopredu odhadnúť jej tvar. Užívateľ má obyčajne za úlohu zadávať iba niekoľko riadiacich bodov, poprípade parametrov a matematický aparát sa o vytvorenie krvky postará sám.

### 3.1 Reprezentácia krviek

Krvky sú obyčajne v počítači reprezentované ako sústava parametrov neakej rovnice, ktorá je hneď nato generatívne zobrazovaná. Toto vyjadrenie môže byť trojitého druhu - explicitne, implicitne, parametricky.

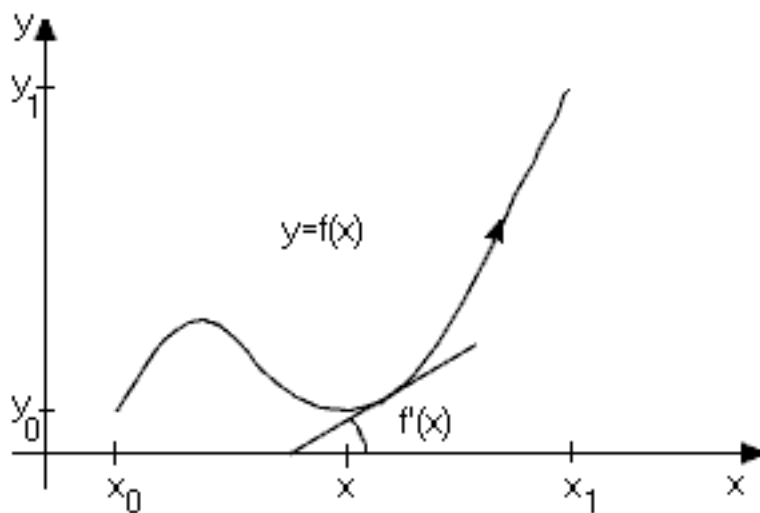
Explicitne zadaná krvika môže byť zadaná ako spojitá funkcia v tvare  $y = f(x)$  a býva orientovaná v smere rastúceho  $x$  (obrázok 3.1). Jedná sa však o zadanie, ktoré je možné použiť pre krvky, ktoré sú zároveň funkciami, tzn. že hodnote  $x$  z definičného oboru odpovedá jediná funkčná hodnota  $y$ .

Implicitné zadanie krvky má tvar  $F(x, y) = 0$ . Toto zadanie je pomerne obtiažne zobraziteľné v porovnaní s ostatnými, pretože neumožňuje v obecnejších prípadoch postupný výpočet krvky. Svoj význam má napríklad pri testovaní oblastí vymedzených implicitne zadnou krvkou.

V počítačovej grafike sa pre vyjadrenie krviek najčastejšie používa tvar parametrický (obrázok 3.2). Ten krvku chápe fyzikálne, ako dráhu pohybujúceho sa bodu, jeho súradnice sú funkciami parametru  $t$  (času).

$$x = x(t), y = y(t), z = z(t).$$

Prameter  $t$  je z intervalu  $t \in < t_{min}, t_{max} >$  a najčastejšie je volený v rozsahu  $t \in < 0, 1 >$ .



Obrázek 3.1: Explicitne zadaná krivka

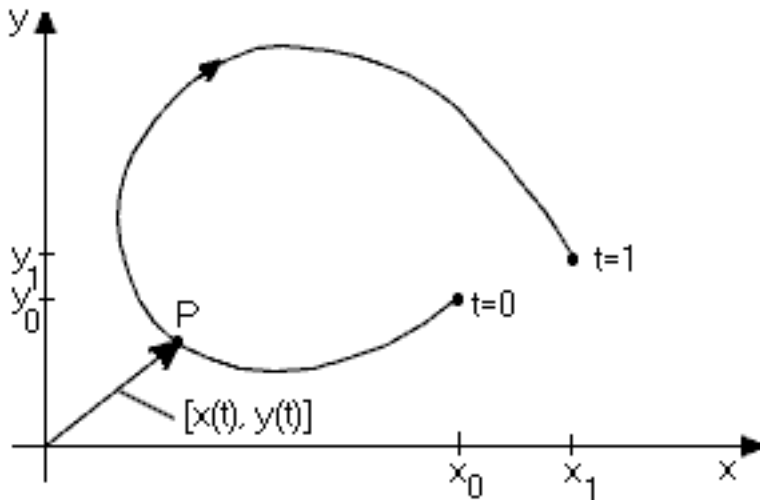
Funkciami je určená bodová rovnica krivky

$$Q(t) = [x(t), y(t), z(t)]$$

alebo vektorová rovnica

$$\vec{q}(t) = (x(t), y(t), z(t))$$

Výhodov parametrického zápisu je závislosť súradníc krivky na jedinom parametri  $t$ . Vďaka tomu je možné vyjadriť priebeh, kedy krivka prechádza viackrát rovnakými bodmy v priestore.



Obrázek 3.2: Parametricky zadaná krivka

Tečný vektor v bode  $Q(t_0)$  je určený deriváciami parametricky vyjadrenej krivky po zložkách

v tvare

$$\vec{q}'(t_0) = (x'(t_0), y'(t_0), z'(t_0)) = \left(\frac{dx(t_0)}{dt}, \frac{dy(t_0)}{dt}, \frac{dz(t_0)}{dt}\right).$$

Rovnica tečny, tj. priamky ktorá sa krivky dotýka, sa vypočíta z tečného vektoru a bodu na krivke ako

$$P(u) = Q(t_0) + u\vec{q}'(t_0)$$

### 3.2 Spojitosť

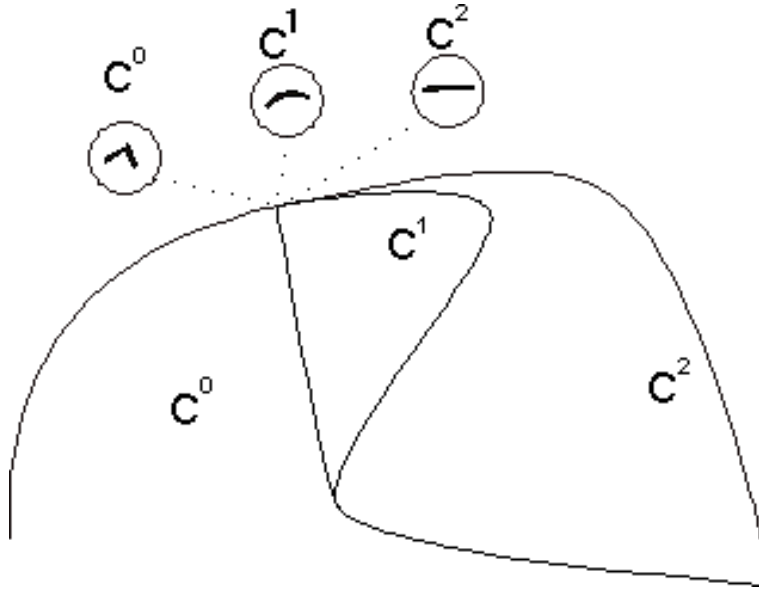
Segmenty  $Q_1(t)$  a  $Q_2(t)$  sú dve časti jediné krivky  $Q(t)$  spojené v bode  $Q_1(1) = Q_2(0)$ . Bod v ktorom sa krivky spojujú budeme nazývať uzol (knot). Zaujíma nás hlavne spôsob ich napojenia, hlavne spojitosť (continuity) v uzle.

Hovoríme, že krivka  $Q(t)$  je spojitosťi  $C^n$ , ak má vo všetkých bodoch spojité derivácie podľa parametru  $t$  do rádu  $n$ . Označenie  $C^n$  sa nazýva parametrická spojitosť stupňa  $n$  (obrázok 3.3).

Dva segmenty sú spojite naviazané, tj. majú spojenie triedy  $C^0$ , ak je koncový bod prvého segmentu počiatočným bodom segmentu druhého. Spojitosť  $C^1$  majú, ak tečný vektor v koncovom bode prvého segmentu rovný tečnému vektoru druhého segmentu. Analogicky rovnosť vektoru prvej a druhej derivácie je požadovaná pre  $C^2$  atď. Zkrátene zapisujeme

$$\vec{q}_1^{(i)} = \vec{q}_2^{(i)}(0); \forall i = 0, 1, \dots, n.$$

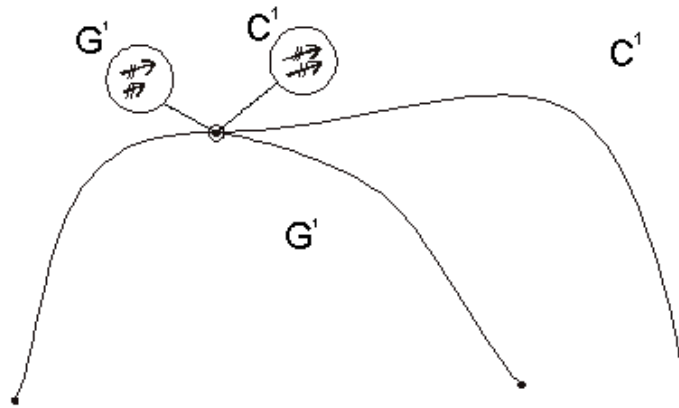
Čím vyššia spojitosť je požadovaná, tým dlhšiu dobu (v zmysle parametra  $t$ ) sa oba segmenty primykajú k rovnakému smeru. Zjavne  $C^{n+1} \Rightarrow C^n$ .



Obrázek 3.3: Spojitosť  $C^0, C^1$  a  $C^2$

Hladkosť naväzovania kriviek možme taktiež posudzovať podľa geometrickej postupnosti označovanej  $G^n$ , najčastejšie sa používajú geometrické spojitosťi  $G^0$  a  $G^1$ . Dva segmenty krivky  $Q(t)$  sú  $G^0$  spojité, ak je koncový bod  $Q_1$  totožný s počiatočným bodom  $Q_2$ . Dva segmenty sú  $G^1$  spojité, ak sú  $G^0$  a súčasne tečné vektoru  $\vec{q}_1'(1)$  segmentu  $Q_1$  a  $\vec{q}_2'(0)$  segmentu  $Q_2$  sú súhlasne kolineárne, tj. platí:

$$\vec{q}_1'(1) = k\vec{q}_2'(0); k > 0.$$



Obrázek 3.4: Geometrická a parametrická spojitosť

Táto spojitosť zaručuje totožnosť tečien (ale nie tečných vektorov).

Geometrická spojitosť  $G^n$  v danom bode je definovaná nezávisle na spôsobe akým boli segmenty vytvorené, tj. nezávisle na parametre  $t$ . Za predpokladu, že obe krvinky sú v mieste spojenia diferencovateľné, potom  $Q(1)$  a  $Q(2)$  splňujú podmienku geometrickej spojitosťi  $G^n$ , ak sú v bode  $[x_0, y_0, z_0]$   $G^{n-1}$  spojité a platí

$$[\frac{\delta^n Q(1)}{\delta x^n}, \frac{\delta^n Q(1)}{\delta y^n}, \frac{\delta^n Q(1)}{\delta z^n}]_{[x_0, y_0, z_0]} = h * [\frac{\delta^n Q(2)}{\delta x^n}, \frac{\delta^n Q(2)}{\delta y^n}, \frac{\delta^n Q(2)}{\delta z^n}]_{[x_0, y_0, z_0]}, n > 0, h > 0.$$

Zo subjektívneho hľadiska zaručuje  $G^1$  spojitosť takmer rovnakú hladkosť ako  $C^1$ , z hľadiska použitia je ďaleko jednoduchšie zaručiť spojitosť  $G^1$  ako  $C^1$ . Spojitosť  $C^1$  implikuje  $G^1$  s výnimkov jediného prípadu a, keď vektor rýchlosťi v mieste spojenia dvoch segmentov je  $(0,0,0)$ . Obrácene toto neplatí, pretože geometrická spojitosť nepostihuje rýchlosť a zrýchlenie pohybu. [2]

### 3.3 Modelovanie krviek

Základným druhom parametrických krivek používaných v počítačovej grafike sú krvky polynomiálne

$$Q_n(t) = a_0 + a_1 t + \dots + a_n t^n$$

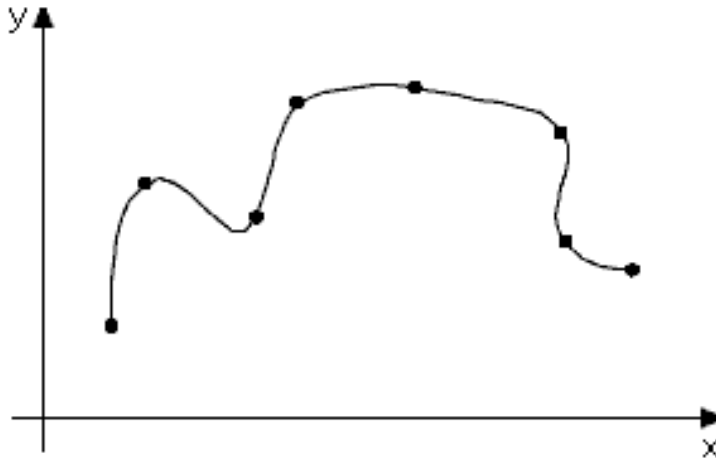
Polynomiálne krvky môžeme jednoducho vyčísliť a ich dalšou výhodou je že sú jednoducho diferencovateľné. Z polynomiálnych krivek je možné skladať krvky po častiach polynomiálne, krvky ich segmentami sú polynomiálnymi krvikami. Najčastejšie používané sú krvky tretieho stupňa - kubiky, ktoré poskytujú dostatočne širokú škálu tvarov, ich výpočet býva nenáročný a je možné s nimi jednoducho manipulovať.

Existujú dva základné spôsoby interpretácie riadiacich bodov a to interpolácia a approximácia. Krvka generovaná pri interpolácii prebieha danými bodmy, zatiaľ čo pri approximácii je riadiacim bodym tvar určený, ale krvka samotná nimi prechádza nemusí.

Medzi najznámejších predstaviteľov interpolačných krivek patria Hermitovské krvky, Kochanek-Batrels spline a Catmull-Rom spline.

U approximačných sú to Bezierové krvky a Neuniformný racionálny B-spline(NURBS). Princip a vlastnosti týchto krviek som sa preto rozhodol demonštrovať v našom výukovom programe.

Parametricky zadanú kubiku  $Q(t)$  v tvare:



Obrázek 3.5: Interpoláčná krivka

$$\begin{aligned}x(t) &= a_x t^3 + b_x t^2 + c_x t + d_x \\y(t) &= a_y t^3 + b_y t^2 + c_y t + d_y \\z(t) &= a_z t^3 + b_z t^2 + c_z t + d_z\end{aligned}$$

môžeme napísť skrátene v matematickom tvare:

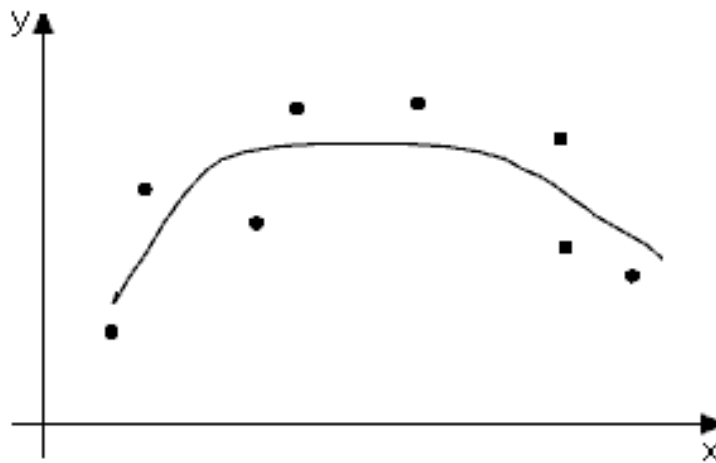
$$Q(t) = \mathbf{T}\mathbf{C} = [t^3 \ t^2 \ t^1] \begin{bmatrix} a_x & a_y & a_z \\ b_x & b_y & b_z \\ c_x & c_y & c_z \\ d_x & d_y & d_z \end{bmatrix}$$

Deriváciou  $\vec{q}'(t)$  získame deriváciu vektoru  $\mathbf{T}$

$$\vec{q}'(t) = \frac{d}{dt} Q(t) = \frac{d}{dt} \mathbf{T}\mathbf{C} = [3t^2 \ 2t \ 1] \mathbf{C}$$

Kubika v priestore je určená dvanásťimi parametrami, ktoré tvoria prvky matice  $\mathbf{C}$ . Ovládanie tvaru krivky pomocou jednotlivých parametrov však nieje dosť intuitívne, zo zmeny parametrov sa nedá jednoducho odhadnúť zmena tvaru krivky. Pri definícii kriviek je s určitými vlastnosťami je teda výhodnejšie oddeliť charakteristiky ktoré sú pre danú krivku individuálne od vlastností ktoré sú rovnaké pre všetky krivky modelované rovnakým spôsobom. V prípade kubik možme maticu  $\mathbf{C}$  rozpísť do súčinu  $\mathbf{C} = \mathbf{M}\mathbf{G}$  kde matica konštánt  $\mathbf{M}$  je typu  $4 \times 4$  a nazýva sa bázová matica a štovrprkový vektor  $\mathbf{G}$  sa nazýva vektor geomtrických podmienok. Súčin  $\mathbf{T}\mathbf{M}\mathbf{G}$  definuje polynomiálnu bázu, ktorá je spoločná pre všetky krivky určitého typu. Vektor geomtrických podmienok obsahuje konkrétné parametre, ktoré ovplyvňujú tvar krivky, napr. riadiace body alebo riadiace body a tečné vektory. Kubika je definovaná vzťahom

$$Q(t) = \mathbf{T}\mathbf{M}\mathbf{G} = [t^3 \ t^2 \ t^1] \begin{bmatrix} m_{11} & m_{12} & m_{13} & m_{14} \\ m_{21} & m_{22} & m_{23} & m_{24} \\ m_{31} & m_{32} & m_{33} & m_{34} \\ m_{41} & m_{42} & m_{43} & m_{44} \end{bmatrix} \begin{bmatrix} G_1 \\ G_2 \\ G_3 \\ G_4 \end{bmatrix}$$



Obrázek 3.6: Aproximačná krivka

Túto rovnicu rozpíšeme ako súčet polynomov násobených geometrickými podmienkami

$$Q(t) = (m_{11}t^3 + m_{21}t^2 + m_{31}t + m_{41}) * G_1 + (m_{12}t^3 + m_{22}t^2 + m_{32}t + m_{42}) * G_2 + (m_{13}t^3 + m_{23}t^2 + m_{33}t + m_{43}) * G_3 + \dots$$

Polynomy, ktorými sú geometrické podmienky násobené sa uplatnia ako premenlivé váhy riadené parametrom  $t$ . Podľa hodnoty parametru  $t$  bázové polynomy určujú ktorá podmienka sa viac uplatní na začiatku krivky a ktorá má väčší vplyv na vnútorný priebeh alebo na koncovú časť.

Medzi často požadované vlastnosti kriviek patrí:

1. Invariácia k lineárnym transformáciám a projekciám
2. Vlastnosť konvexnej obálky:
  - silná podmienka - celá krivka leží v konvexnej obálke všetkých svojich riadiacich bodov
  - slabá podmienka - časť krivky leží v konvexnej obálke niektorých riadiacich bodov (segment v obálke svojeho generujúceho polynomu)
3. Lokalita zmien - zmenov polohy a/alebo váhy riadiaceho bodu sa mení iba časť krivky, ale nie krivka celá
4. Krivka má prechádzať krajnými bodmy svojeho riadiaceho polynomu [7]

# Kapitola 4

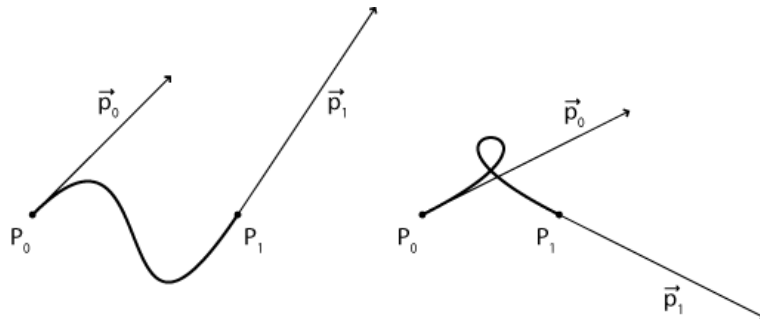
## Analýza typov krivek

Pri analýze typov krivek nás zaujímajá hlavne spôsob ich zadávania pomocou periferneho zariadenia a taktiež ich vlastnosti ako sú spojitosť krivky a jej polynomiálna báza ako aj spôsob ako tieto vlastnosti jednoducho a zrozumiteľne demonštrovať pre užívateľov programu. Pri každej zvolenej krivke bude užívateľ vydiel' akú má spojitosť ako aj graf polynomov použitých pre jej výpočet (výnimkov je algoritmus DeCasteljau kde sa pri vykreslení polynomy nepoužívajú)

### 4.1 Interpolačné krivky

#### 4.1.1 Hermitovské kubiky

Jedná sa o krivky, ktoré sú zadávané pomocou dvoch bodov  $P_0$  a  $P_1$  a pomocou vektorov  $\vec{p}_0$  a  $\vec{p}_1$  v týchto bodoch.



Obrázek 4.1: Fergusnova krivka

Predpis pre výpočet Heritovskej kubiky má tvar:

$$Q(t) = [t^3 \ t^2 \ t^1] \begin{bmatrix} 2 & -2 & 1 & 1 \\ -3 & 3 & -2 & -1 \\ 0 & 0 & 1 & 0 \\ 1 & 0 & 0 & 0 \end{bmatrix} \begin{bmatrix} P_0 \\ P_1 \\ \vec{p}_0 \\ \vec{p}_1 \end{bmatrix}$$

Ak tento vzťah rozpíšeme do jednej rovnice dostávame

$$Q(t) = P_0 F_1(t) + P_1 F_2(t) + \vec{p}_0' F_3(t) + \vec{p}_1' F_4(t)$$

kde  $F_1, F_2, F_3, F_4$  sú takzvané Hermitovské polynomy

$$\begin{aligned}F_1(t) &= 2t^3 - 3t^2 + 1 \\F_2(t) &= -2t^3 + 3t^2 \\F_3(t) &= t^3 - 2t^2 + t \\F_4(t) &= t^3 - t^2\end{aligned}$$

Po dosadení hodnôt  $t = 0$  a  $t = 1$  do rovníc Hermitovských polynomov zisťujeme ich vplyv na začiatok a koniec krivky. Pre  $t = 0$  sú všetky polynomy okrem  $F_1$  nulové, to znamená, že krivka bude pre  $t = 0$  určená funkciou  $Q(0) = P_0$ . Podobne je tomu aj v prípade  $t = 1$  kedy je krivka určená funkciou  $Q(1) = P_1$ . Stoho vyplýva že krivka začína v prvom a končí v poslednom bode kubiky. Na jej priebeh ale majú hlavný vplyv vektoru  $\vec{p}_0$  a  $\vec{p}_1$ . Odnich práve závisí tvar krivky, miera jej vyklenutia. Čím je veľkosť vektoru väčšia, tým viac sa knemu krivka primyká. Kvôli tejto vlastnosti som sa rozhodol demonštrovať vplyv tečného vektora na krivku. Najprv demonštrujeme príklad kedy sa bude meniť iba smer vektoru, pričom jeho dĺžka ostane nezmenná, a hned zaním bude nasledovať demonštrácia vplyvu jeho veľkosti, pričom tentokrát ostane nezmenný smer. [7]

Jeden segment Hermitovej krivky je stupňa 3. Celkový stupeň krivky je teda tiež 3.

Výhodov týchto kriviek je jednoduchá realizacia ich hladkej spojitosti. Pre prípad zadávania bodov a ich vektorov použitý v našom programe, a to že koncový bod predchádzajúceho segmentu a jeho vektor sú vždy počiatočným bodom a vektorom sektoru druhého, čiže tečné vektoru oboch sektorov sú totožné a dostávame v každom prípade spojitosť  $C^1$ .

#### 4.1.2 Kochaek-Bartels spline

Tieto krivky majú rovnakú interpolačnú schému ako Fergusnové krivky, s tým rozdielom že tečné vektoru sa unich musia vypočítať a to tak že máme možnosť riadenia priebehu krivky cez interpolované body, konkrétnie umožňuje definovať nápetie (tension), spojitosť (continuity) a šikomst (bias). Kvôli tomu sú taktiež nazývané aj TCB krivky.

Krivka je zadaná postupnosťou bodov  $P_0, P_1, \dots, P_n$  a riadiacmy koeficientamy  $a_i, b_i, c_i$  pre každý z vnútorných bodov  $P_1, P_2, \dots, P_{n-1}$ . Krajné body súčasťou definujú tvar krivky ale tá nimi neprechádza. Aby krivka prechádzala aj krajnými bodmi, je potreba tieto body zdvojniť. Pre výpočet krivky sa používa Fergusnova kubika, stým rozdielom že Kochanek-Bartels má pre každý bod definované dva vektoru, vstupný  $\vec{l}'_i$  - v zmysle parametru  $t$  pre ľavý segment - a výstupný  $\vec{r}'_i$  - pre pravý segment. Tieto vektoru vypočítame podľa vzťahu:

$$\begin{aligned}\vec{l}'_i &= \frac{(1-a)(1+b)(1-c)}{2}(P_i - P_{i-1}) + \frac{(1-a)(1-b)(1+c)}{2}(P_{i+1} - P_i) \\\vec{r}'_i &= \frac{(1-a)(1+b)(1+c)}{2}(P_i - P_{i-1}) + \frac{(1-a)(1-b)(1-c)}{2}(P_{i+1} - P_i)\end{aligned}$$

Parameter napetia  $a_i$  určuje veľkosť tečny v  $i$ -tom bode. Parameter šikomosti  $b_i$  mení smer a dĺžku tečného vektora. Parameter šikomosti  $c_i$  riadi spojitosť v príslušnom bode[7]. Nás program bude naviac obsahovať simuláciu týchto parametrov a ich vplyv na krivku. Simulácia bude prebiehať spôsobom, pri ktorom budú dva parametre rovné nule a ten tretí (ktorý bude simulovaný) bude postupne nadobúdať hodnotu v rámci celej svojej škály.

Zo vzťahu pre výpočet tečných vektorov zisťujeme že krivka je spojitosťi  $C^1$ , ak je hodnota parametru  $c_i$  pre všetky vnútorné body rovná nule. Potom dostávame vzťah

$$\vec{l}'_i = \frac{(1-a)(1+b)}{2}(P_i - P_{i-1}) + \frac{(1-a)(1-b)}{2}(P_{i+1} - P_i)$$

$$\vec{r}_i = \frac{(1-a)(1+b)}{2}(P_i - P_{i-1}) + \frac{(1-a)(1-b)}{2}(P_{i+1} - P_i)$$

takže vstupný a výstupný vektor sú totožné.

V opačnom prípade sú vstupný a výstupný vektor odlišné a krvika ma spojitosť  $C^0$ .

Segment medzi dvoma vnútornými bodmi je stupňa 3, čiže celkový stupeň je rovnako ako u Hermitovských krviek 3.

### 4.1.3 Catmull-Rom spline

Jedná sa vlastne o špeciálny prípad krvke Kochanek-Bartels a to keď sú hodnoty parametrov  $a = b = c = 0$ . V tomto prípade sú hodnoty vektoru identické a sú dané iba polohov riadiacich bodov. Hodnota vektoru pre vnútorné body je potom rovná polovici vektoru daného bodmy  $P_{i+1}$  a  $P_{i-1}$  [7].

Ďalšou vlastnosťou a zároveň nevýhodov týchto krviek je že nie vždy ležia v konvexnej obálke. Túto vlastnosť som sa rozhodol demonštrovať aj v našom demoštračnom programe.

Spojitoť Catmull-Rom krviek je v každom prípade  $C^1$ , keďže vstupný a výstupný vektor sú identické.

## 4.2 Aproximačné krvky

### 4.2.1 Bezierové krvky

#### Obecné Bezierové krvky

Bezierové krvky  $n$ -tého stupňa sú určené  $n + 1$  bodmy  $P_i$  riadiaceho polygonu a vzťahom

$$Q(t) = \sum_{i=0}^n P_i B_i^n(t)$$

kde  $B_i^n$  sú Bernsteinové polynomy  $n$ -tého stupňa

$$B_i^n(t) = \binom{n}{i} t^i (1-t)^{n-i}; t \in \langle 0, 1 \rangle; i = 0, 1, \dots, n.$$

Vtomto vzťahu je  $\binom{n}{0} = 1$  a  $0^0 = 1$ .

Položíme vo vzťahu  $t = 0$ , resp.  $t = 1$  zistíme že krvka prechádza krajnými bodmy. Po dosadení  $t = 0$  a  $t = 1$  do derivácie vzťahu získame výrazy pre tečné vektory v krajných bodoch

$$\begin{aligned} \vec{q}'(0) &= n(P_1 - P_0) \\ \vec{q}'(1) &= n(P_n - P_{n-1}). \end{aligned}$$

Medzi nevýhody týchto krviek patrí fakt že pri zmene jedného bodu sa mení tvar celej krvky, s tohto dôvodu sa tieto krvky robia nižšieho stupňa, ktoré postupne naväzujú [7].

Ich stupeň je rovný počtu riadiacich bodov -1.

#### Racionálne Bezierové krvky

Jedná sa o zobecnenie Bezierových krviek. Ku každému bodu sa pridá reálne číslo, ktorého zmena mení aj tvar krviky. Krvika je potom definovaná riadiacimi bodmy  $P_0, P_1, \dots, P_n$  a reálnymy

číslamy  $w_0, w_1, \dots, w_n$  ktoré reprezentujú váhu bodu. Racionálna Berzierová krvika je potom určená vzťahom

$$P(t) = \frac{\sum_{i=0}^n w_i P_i B_i^n(t)}{\sum_{i=0}^n w_i B_i^n(t)} = \sum_{i=0}^n w_i P_i R_i^n; i = 0, 1, \dots, n; w >= 0$$

pričom

$$R_i^n = \frac{w_i B_i^n(t)}{\sum_{j=0}^n w_j B_j^n(t)} [7]$$

Racionálne Bezierové krvky sú vlastne Obecné berzierové krvky pre ktoré platí že každý bod má váhu práve 1. Výhodu oproti obecným majú hlavne v tom že pre zmenu krvky nemusíme meniť polohu riadiacich bodov. Túto vlastnosť som rozhodol demonštrovať v našom programe pomocou simulácie, kde sa postupne mení váha bodu ale riadiace body ostávajú nezmenené a užívať teda može sledovať vplyv váhy bodu na krvku.

### Bezierové kubiky

Sú to Bezierové krvky tretieho stupňa ktoré sú zadané 4 riadiacimi bodmi  $P_0, P_1, P_2, P_3$ . Kubika prechádza prvým a posledným bodom a je určená vzťahom

$$Q(t) = \sum_{i=0}^3 P_i B_i(t)$$

pričom Bernsteinove polynomy majú tvar

$$\begin{aligned} B_0(t) &= (1-t)^3 \\ B_1(t) &= 3t(1-t)^2 \\ B_2(t) &= 3t^2(1-t) \\ B_3(t) &= t^3 \end{aligned}$$

Maticový zápis Bezierovej kubiky je

$$Q(t) = [t^3 t^2 t^1] \begin{bmatrix} 1 & 3 & -3 & 1 \\ 3 & -6 & 3 & 0 \\ -3 & 3 & 0 & 0 \\ 1 & 0 & 0 & 0 \end{bmatrix} \begin{bmatrix} P_0 \\ P_1 \\ P_2 \\ P_3 \end{bmatrix}$$

tečné vektorov v prvom a v poslednom bode majú tvar

$$\vec{p}'(0) = 3(P_1 - P_0)\vec{p}'(1) = 3(P_3 - P_2)[7]$$

Na týchto krvkach som sa rozhodol demonštrovať náváznosť Bezierových krviek, ako aj obecne spojitosť  $C^0, C^1, G^1$  kvôli jednoduchému zobrazeniu tečných vektorov v počiatočných a konečných bodoch. Spojitosť  $C^0$  zaistíme totožnosť posledného bodu prvého segmentu a prvého bodu druhého segmentu. Spojitosť  $C^1$  zaistíme ak je posledný bod prvého segmentu zároveň prvým bodom druhého segmentu a taktiež ak tento bod leží uprostred úsečky danej predposledným bodom prvého segmentu a druhým bodom druhého segmentu. Spojitosť  $G^1$  nastane v prípade že tieto body ležia na priamke, majú rovnaké poradie ako u spojitosťi  $C^1$ , ale niesú od seba rovnako vzdialené a taktiež niesú totožné.

Kubiky sú vždy stupňa 3.

## Algoritmus DeCasteljau

Tento algoritmus je určený pre rasterizáciu Bezierových krviek. Naivným a neadaptívny spôsobom je dosadzovanie parametru  $t$  do parametrickejho vyjadrenia rovnice. Zmena parametru je konštná keďže Bezierové krvky sú uniformné. Tento spôsob je nefektívny, pretože nerešpektuje zakrivenie úsečky. Tento problém rieši rekurzívny výpočet pomocou algoritmu DeCasteljau. Bod krvky sa vypočíta pomocou rekurentného vzťahu

$$P_{i,j}(t) = (1-t)P_{j-1,i-i} + tP_{j,i-i}$$

kde  $i = 1, 2, \dots, n$  a  $j = i, i+1, \dots, n$ . Vstupom tohto algoritmu sú body riadiaceho polygonu [7].

Bezierová krvka može byť pomocou tohto algoritmu rozdelená na dve ľubovoľne časti v ktorom koľvek bude. Najideálnejšie je ju v strede, teda pre  $t=1/2$ . Každé rozdelenie generuje dva nové riadiace polygony, ktoré sú presnejšou aproximáciou tejto krvky.

Výhodou tohto algoritmu je možnosť jeho ukončenia napríklad v prípade že sme už dosiahli požadovanú rovnosť medzi dvoma bodmi krvky. Vďaka tomu generuje algoritmus menšie množstvo dat. Rovnejšie krvky sú vlastne reprezentované ako úsečky zatial co u krvších častí použijeme hlbšiu rekurziu čím dosiahneme jemnejšie rozdelenie. Ukážku konverzie tohto algoritmu, konkrétnu spôsob delenia pre akúkoľvek hodnotu parametru  $t$  som sa rozhodol demonštrovať v našom programe.

### 4.2.2 NURBS

Neuniformný Racionálny B-Spline (dalej len NURBS) je dvojitým zobecnením B-Spline krviek. Neuniformný znamená, že zmena parametru  $t$  nemusí byť vždy konštantná a racionálizmus pridáva ku každému bodu ešte aj jeho váhový koeficient.

Krvka NURBS je určená  $n+1$  body  $P_0, P_1, \dots, P_n$  riadiaceho polygónu, rádom B-Spline k (najvyšší stupeň polygonu je  $k-1$ ) a uzlovým vektorom  $\mathbf{U}$  dĺžky  $n+k+1$ . Uzlový vektor je tvorený postupnosťou neklesajúcich reálnych čísel - uzlových hodnôt  $t_0 \leq t_1 \leq \dots \leq t_{n+k}$ . Uzlové hodnoty v tejto postupnosti sa môžu opakovať.

Krvka NURBS je určená vzťahom

$$Q(t) = \sum_{i=0}^n P_i R_{i,k}(t)$$

kde  $R_{i,k}$  je racionálna B-Spline báza

$$R_{i,k} = \frac{w_i N_{i,k}(t)}{\sum_{j=0}^n w_j N_{j,k}(t)}$$

pričom  $w_i$  je váha  $i$ -tého bodu riadiaceho polygonu a  $N_{i,k}(t)$  sú normalizované B-Spline bázové funkcie definované rekurentným vzťahom

$$N_{i,k}(t) = \frac{t - t_i}{t_{i+k-1} - t_i} N_{i,k-1}(t) + \frac{t_{i+k} - t}{t_{i+k} - t_{i+1}} N_{i+1,k-1}(t) \text{ pre } t_i < t \leq t_{i+k}, 0 \leq i \leq n. [7]$$

Medzi najdôležitejšie faktory, určujúce tvar NURBS krvky patrí bezpochyby jej stupeň a tvar uzlového vektoru. Vplyv zmeny týchto parametrov na výslednú krviku som sa preto rozhodol demonštrovať. U stupňa krviky to bude prevedením simulácie, ktorá postpne dekrementuje stupeň

krvivky až na minimum, a potom ho inkrementuje na pôvodnú hodnotu. U uzlového vektoru to bude pomocou tlačidiel, ktoré zhustia uzlový vektor buď na začiatku, alebo na konci.

Významnou vlastnosťou týchto krviek je možnosť presne vyjadriť kuželosečky ako podiel polynomov a to pomocou váhových koeficientov. Preto som do programu zahrnul aj dva ukážkové príklady pre vykreslovanie kružníc.

# Kapitola 5

## Vlastná implementácia

### 5.1 Programovací jazyk, framework a vývojové prostredie

Pre implemenáciu programu sa ponúka hned niekoľko programovacích jazykov. Mňa snich najviac zaujal jazyk C++, ktorý podporuje vytváranie GUI aplikácií pomocov prídavných knižníc, pričom je ho možné napojiť na hardware. Pre jazyk C++ existujú rôzne nadstavby nástrojov, tzv. frameworky, ktoré značne uľachčujú písanie programov. Medzi jeho nevýhody patrí hlavne závislosť na platforme, pretože zdrojový kód je nutné pred preložením do strojového kódu, ktorý je závislý na platfomre. Na druhej strane ale vďaka tomu výsledný spustiteľný program získava na svojej rýchlosťi[5].

Tým sa nám ale naskytá ďalšia voľba a to vybrať pre našu implementáciu vhodný framework. Spomedzi všetkých vyšiel najvhodnejšie framework *Qt* od firmy TrollTech. Prostredie umožňuje vývoj aj pre viac platform, takisto podporuje i iné programovacie jazyky. Framework obsahuje moduly s rôznymi funkiami pre uľahčenie práce programátora. Mimo iné obsahuje vlastné nástroje pre tvorbu GUI, preklad programu do viac jazykov, ako aj nástroje pre vykreslovanie a základnú prácu s grafikou. K dispozícii je Qt Designer, prehľadný grafický nástroj pre tvorbu GUI programov. Sada nástrojov QT neobsahuje iba grafické triedy ale tiež kompletnú prestavbu štandardnej C++ knižnice. Tieto triedy majú predponu Q. Patrí medzi ne napríklad `QArray`,  `QVector`,  `QFile`,  `QDir`, `QString`, `QTime` či `QDate`. Ďalej podporuje nadstavbu fontu triedam `QFont`, `QFontInfo`. Pre kreslenie je možné použiť triedy `QPainter`, `QColor`, `QPixmap`, `QGraphicView`. Vytváranie viac vláknových aplikácií Qt zjednodušuje triedam `QThread`, `QProcess`. Tiež podporuje grafickú knižnicu OpenGL, prácu s XML, znakovými sadami a databázami[4].

Pre vývojové prostredie som sa rozhodol použiť komerčný produkt firmy Microsoft a to Visual Studio 2005, ktoré je v rámci školskej licencie poskytované pre študijné účely zdarma. Na internete sa mi podarilo nájsť jednoduchý tutoriál[1], ktorý ukazuje spôsob akým sa dá framework Qt integrovať do tohto vývojového prostredia. Visual Studio v sebe obsahuje Microsoft Visual C++, integrované vývojárske prostredie pre programovacie jazyky C, C++ a C++/CLI [3]. Tiež sa Visual Studio stará o prehľadné odsadzovanie zdrojového kódu a zvýraznenie kľúčových slov, čo nám výrazne zjednoduší prácu.

### 5.2 Popis tried

Medzi najzákladnejšiu triedu programu patrí trieda *Application*, ktorá je potomkom triedy *QApplication*. Konštruktor tejto triedy je volaný s funkciu *main*, ktorá je vlastnme vstupným bodom programu. Táto trieda si ukladá instanciu aplikácie, teda ukazovateľ na samu seba z dôvodu vi-

acnásobného spustenia aplikácie. Ďalej ukladá operačný typ, ktorý určuje s akým typom krviek zrovna pracujeme a je dvoležitov premenou vetvenia programu v mnohých funkciách, hlavne tých súvsejúcich s ovládaním programu a vykreslovaním. Taktiež ukladá vstupné parametre programu pre prípad že by si ich použitie vyžadovalo neskôr vylepšenie programu. Vo svojom konštruktore taktiež volá konštruktor triedy *MainWindow*, ktorá je srdcom celého našeho programu, a ukladá si ukazovateľ na túto triedu.

Trieda *MainWindow* sa stará hlavne o grafické užívateľské rozhranie, jedná sa o hlavné okno aplikácie. Táto trieda je potomkom triedy *QMainWindow*, určuje rozmiestnenie jedolivých elementov(tlačidiel, prepínačov ...) v hlavnom okne a ako aj obsluhu signálov nimi generovaných. Podľa ich stavu nastavuje operačný typ aplikácie, vykoná príslušnú reinicializáciu alebo vykoná potrebnú postupnosť úkonov. Takisto vypočítá nové veľkosti a rozmiestnenie elementov v prípade že bola zmenená veľkosť hlavného okna. Ďalej obsahuje vektory riadiacich bodov, ich váhového parametru ako aj TCB parametrov v prípade krvky Kochanek-Bartels a inicializáciu týchto vektorov pre špecifický operačný typ. Obsahuje aj implementáciu všetkých funkcií potrebných pre vypočítanie bodov priamky z riadiacich bodov podľa vyššie uvedeného matematického zápisu pre každú implementovanú krvku. Pri krvke Kochanek-Bartels som sa rozhodol najprv použiť funkciu vypočítá vektory v riadiacich bodoch a vráti riadiace body a vektory Fergusovej kubiky a s týchto riadiacich bodov a vektorov potom vypočítá pomocou funkcie pre výpočet Fergusovej krvky body krvky. Pri funkcií pre výpočet bodov krvky z riadiacich bodov pre Fergusna som sa zase rozhodol riadiace vektory v jednolivých bodoch 3x vynásobiť, krvka tak nebudem mať presne tvar určený matematickým modelom, ale na druhej strane sa tak jednoduchšie ukazuje vplyv tohto vektoru na tvar výslednej krvky. Taktiež sú v tejto triede implementované jednotlivé simulácie. Pre riadenie simulácií som použil triedu *QTimeLine*, ktorá zabezpečuje časovanie v jednotlivých simuláciach. Počas priebehu simulácií sa deaktivuje celé hlavné okno, aby nemohlo dojsť k zmeneniu inicializácie simulácie a tým k jej nečakanému správaniu ktoré vo vratíne prípadov končilo pádom programu. Trieda si taktiež ukladá ukazovatele na triedy *PaintArea* a *FunctionW*, ktoré sú určené pre obsluhu chovania tzv. Widgetov, čo sú komponenty grafického užívateľského rozhrania na ktoré posobí užívateľ. Konštruktory týchto tried sú volané v konštruktore triedy *MainWindow*, kde sa zároveň nastaví aj geometriu týchto Widgetov.

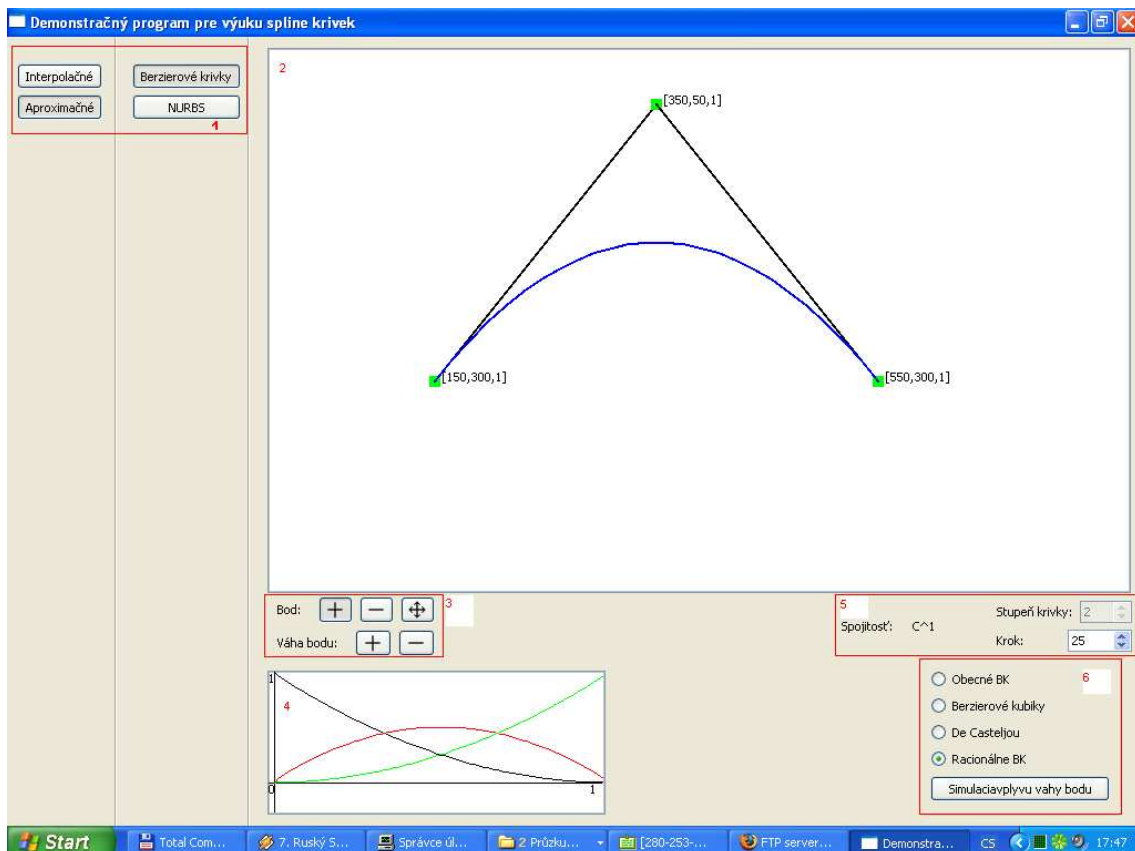
*PaintArea* je trieda slúžiaca pre vykreslovanie krviek a obsluhu udalostí myši. Je dedená s triedy *QWidget* a vždy keď obdrží požiadavok o prekreslenie, bud' implicitne zmenov jej veľkosti vykresloacieho okna alebo explicitne od triedy *MainWindow* alebo sama od seba pomocou funkcie *Update()* prekreslí obsah vykresloacieho okna podľa aktuálneho operačného typu. Okrem samotnej krvky a riadiacich bodov vykresľuje aj všetky ostatné požadované veci, ako napríklad konvexnú obálku u Catmull-Rom krvky alebo ukážku rozdelenia krvky v strede pomocou algoritmu De-Casteljau. Na vykreslovanie používame triedu *QPainter*, ktorá v sebe obsahuje základné funkcie pre vykreslovanie geometrických tvaroch, ako aj zmenu šírky čiary alebo farby vykreslovaného objektu. Trieda sa stará aj o obsluhu myši súvisejúcej s vykreslovacím oknom. Pri kliknutí pridá bod, alebo zistí či bolo kliknuté na bod a potom ho poprípade vymaže, zväčší/zmenší váhu bodu alebo označí bod pre posúvanie ak je pohnuté myšou pred pustením tlačidla, záleží na momentálnom stave aplikácie. Kolečko myši slúži pri označovaní bodu pri Kochanek-Bartels krvke pre ktorý chceme upravovať parametre TCB. Pri pohybe myši sa okrem pohybu bodu taktiež mení aj kurzor myši. Súčasťou tejto triedy mala byť aj funkcia pre vykreslovanie vektorov *drawArrow*, túto funkciu som však už nestihol doimplementovať.

Pre vykreslovanie polynomov slúži trieda *FunctionW*. Rovnako ako trieda *PaintArea* je dedená sa triedy *QWidget*. Jej úlohou je vykresliť jednotlivé polygony podľa operačného typu aplikácie. Prekreslenie tejto funkcie je explicitne vyžiadane od triedy *PaintArea* pomocou metody *Update()* v momente keď trieda *PaintArea* dokončí vykreslovanie.

## 5.3 Vzhľad formuláru

Na vzhľad a rozmiestnenie prvkov GUI bol kladený veľký dôraz, aby bolo docielené jednoduché a intuitívne ovládanie. Pre grafické prvky GUI má framework Qt špeciálny modul nazvaný výstižné QtGui. Pre vytvorenie formuláru hlavného okna a rozmiestnenie jednolivých elementov v ňom vynikajúco poslúžil nástroj pre tvorbu GUI programov QDesigner.

### 5.3.1 Hlavné okno



Obrázek 5.1: Hlavné okno programu

Hlavné okno programu je potomkom triedy `QMainWindow`, čo je základný stavebný prvek v Qt pre väčšie GUI aplikácie. Ako vydíme s obrázku (5.1) prvky hlavného okna sa delia do 6 základných častí. Majú nasledujúce použitie

1. Výber typu krivky
2. Vykrešenie krivky
3. Správa riadiacich bodov
4. Vykrešlenie polynomálnej bázy
5. Vlastnosti krivky

## 6. Parametre krvky

Výber typu krvky je realizovaný pomocov tlačidiel triedy `QButton`, ktoré sú nastavené tak, aby bolo možné tlačidlo zatlačiť, nielen naň kliknúť. Dvojica tlačidiel umiestnená na ľavo slúži pre vybranie skupiny krviek podľa spôsobu ich modelovania, a to approximačné alebo interpolačné a určí počet tlačidiel na pravej strane a ich popisky, kedže tieto tlačidlá už reprezentujú konkrétné typy krviek.

Pre vykreslovanie krvky používame triedu `QWidget`. Samotné kreslenie je realizované pomocov triedy `QPainter`. Pre každý vykreslený riadiaci bod je uvedená  $X$ -ová a  $Y$ -ová súradnica ako aj váha tohto bodu. Ak nám to matematický aparát dovoľuje (napríklad niesu zadané iba dva riadiace body pre vykreslovanie kubiky) vykresľujeme aj krviku samotnú. Niektoré krvky si vyžadujú ešte vykreslenie ich špeciálnych parametrov alebo vlastností, napr. tečny ku krvike Catmull-Rom, alebo ukážka algoritmu DeCasteljau.

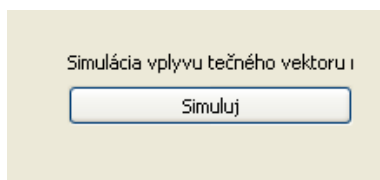
Správa riadiacich bodov je rovnako ako výber typu krvky realizovaný pomocov tlačidiel triedy `QButton`. Pomocov stavu týchto tlačidiel nastavujeme operáciu, ktorá sa prevedie pri udalosti myši vyvolanej v oblasti pre vykreslovanie krvky. Vrchné tri tlačidlá slúžia pre vloženie nového bodu, vymazanie existujúceho bodu a premiestnenie existujúceho bodu. Zaťiaľ čo dva spodné tlačidlá sú vyditeľne iba pri racionálnych krvkách a slúžia pre zvýšenie a zníženie váhy bodu.

Vykreslovanie polynomiálnej bázy je zase rovnako ako pre vykreslovanie krvky použitá trieda `QWidget` a pre samotné kreslenie trieda `QPainter`. Slúží nám pre vykreslovanie polynomiálnej bázy danej krvky. Každý polynom vykresľujeme inou farbou.

Pre zobrazenie vlastností každej krvky sme použili triedy `QLabel` a `QSpinBox`. Výsledná spojitosť krvky je zobrazená pomocov triedy `QLabel`, ktorá slúži pre zobrazovanie reťazca a nie je možné ju užívateľsky modifikovať zatiaľ čo stupeň krvky a krok krvky su dané triedov `QSpinBox`, ktorá služí pre zobrazovanie a zadávanie čísel užívateľom s programátorsky zvolenej množinou. Stupeň krvky je ale okrem jedného prípadu (krvika NURBS) celý beh programu deaktivovaný a slúži iba pre zobrazenie stupňa krvky, pretože v týchto prípadoch je stupeň konštantný. Krokom krvky rozumieme počet zmien hodnoty  $t$  v intervale  $<0, 1>$ .

Parametre krvky záležia od typu krvky, preto sú vo formuláre použité rozne tirty pre rôzne typy krviek.

### 5.3.2 Parametre krviek



Obrázek 5.2: Parametre Fergusnovej krvky

Pre vyjadrenie parametrov Fergusnovej krvky je použité jediné tlačidlo triedy `QButton`, ktoré slúži pre spustenie simulácie vplyvu tečného vektora na výslednú krvku.

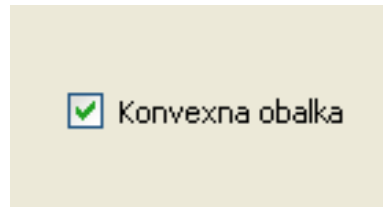
U krviek Kochanek-Bartels je pre každý z parametrov TCB použitý jeden prvok triedy `QSpinBox` pre zobrazenie a zmenu hodnoty a takisto aj tlačidlo triedy `QButton` pre štart simulácie vplyvu tohto parametru.

Napetie (tension): 0,00    Simuluji

Spojitosť (continuity) : 0,00    Simuluji

Sklon (bias) : 0,00    Simuluji

Obrázek 5.3: Parametre krivky Kochanek-Bartles



Obrázek 5.4: Parametre krivky Catmull-Rom

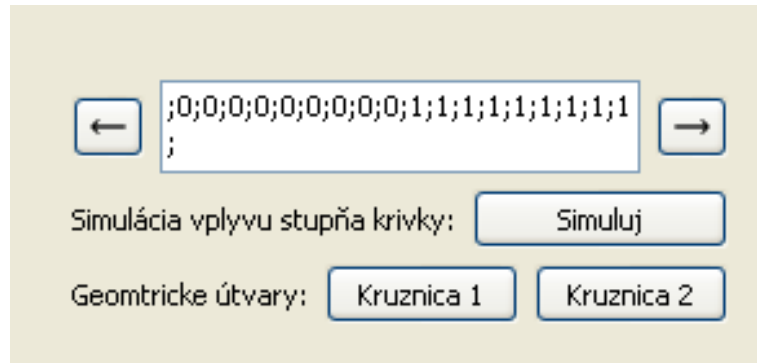
Pre krivku Catmull-Rom je použitý jeden prvok triedy QCheckBox, ktorý udáva či sa má konvexná obálka vykresliť alebo nie. Akýmkoľvek zmenením riadiacich bodov krivky sa vykreslovanie konvexnej obálky vypne.

|  |   |   |
|--|---|---|
| <input type="radio"/> Obecné BK                    | <input type="radio"/> Obecné BK         | <input type="radio"/> Obecné BK         |
| <input checked="" type="radio"/> Berzierové kubiky | <input type="radio"/> Berzierové kubiky | <input type="radio"/> Berzierové kubiky |
| <input type="radio"/> De Casteljou                 | <input type="radio"/> De Casteljou      | <input type="radio"/> De Casteljou      |
| <input type="radio"/> Racionálne BK                | <input type="radio"/> Racionálne BK     | <input type="radio"/> Racionálne BK     |
| Spojitosť  | G^1                                     | C^2                                     |
|  | Simulacia vplyvu váhy bodu              |   |
|  | <input type="checkbox"/> Algoritmus     |   |

Obrázek 5.5: Parametre Bezierových kriviek

Pri Bezierových krivkách sú použité 4 prvky triedy QRadioButton, ktoré slúžia pre výber typu Bezierovej krivky. Ďalej obsahuje dve tlačidlá triedy QPushButton, ktoré sú viditeľné iba pre Bezierové Kubické krivky a slúžia pre demostráciu spojitosťi týchto kriviek. Dalšie prvky a to konkrétnie tlačidlo triedy QPushButton pre simuláciu konvergencie algoritmu Decasteljau a prvok triedy QCheckBox určujúci zobrazenie algoritmu DeCateljau. Ako je už zrejmé tieto dva prvky sú viditeľné iba pre algoritmus DeCasteljau. Posledným prvkom je tlačidlo triedy QPushButton, ktoré spúšta simuláciu vplyvu váhy bodu na výsledný tvar krivky a je viditeľné iba pre Racionálne Bezierové krivky.

Ako posledné si popíšeme parametre krivky NURBS. Tie obsahujú prvok triedy QTextBrowser, ktorý je iba na čítanie a zobrazuje uzlový vektor danej krivky. Z oboch strán tohto prvku je umi-



Obrázek 5.6: Parametre krvinky NURBS

estnené jedno tlačidlo triedy `QPushButton`. Tieto tlačidlá menia vstupný vektor tak že ho zhusťujú na stranu kde sú umiestnené aby tak ukázali vplyv tohto vektora na výslednu krviku. Ďalej obsahuje ešte tri prvky typu `QPushButton`, jeden pre simuláciu vplyvu stupňa krvky a dva pre demonštráciu spôsobu vykreslovania geometrických tvarov, konkrétnie kružníc.

## 5.4 Testovanie

Program bol testovaný na operačných systémoch Microsoft Windows XP a Microsoft Windows Vista.

Pri testovaní boli najdené 2 chyby, ktoré sa mi nepodarilo odstrániť. Chybné dokročenie simulácie pri simulácii vplyvu tečného vektoru na Ferguslove krviky. Krátku dobu po ukončení simulácie a aktivovaní hlavného okna vedie akákolvek akcia spôsobená užívateľom ku neočakávanému správaniu a následnému pádu aplikácie. Pri obecných Bezierových krvkách bolo zistené nesprávne modelovanie krviek pri väčšom počte riadiacich bodov. Kedže táto chyba nastáva približne pri 14 a viac riadiacich bodoch nemusíme túto chybu brať v potaz pretože pri používaní programu väčšinou pracujeme s menším počtom riadiacich bodov.

# Kapitola 6

## Záver

Úkolem mojej bakalárskej práce bolo vytvoriť čo najjednoduchší a čo najprehľadnejší výkový program. Myslím že vďaka minimalizácii ovládacích prvkov a intuitívnomu ovládaniu sa mi podarilo vytvoriť program, s ktorým sa užívateľ ľahko stotožní a može si tak vyskúšať ako implementované krivky pracujú a zároveň pochopiť niektoré ich princípy na použitých príkladoch, ako aj použiť tento program ako pomôcku pri vysvetľovaní princípu kriviek niekomu inému. Či sa mi ale naozaj podarilo vytvoriť požadovaný program a splniť krteriá preňho dané ukáže až jeho používanie v praxi.

Pri ďalšom vývoji programu by určite bolo vhodné doimplementovať niektoré vňom neimplementované typy kriviek a algoritmov pre ich vykreslenie, ako aj sa zamerať na niektoré tu nedeemonštrované vlastnosti jednotlivých kriviek a algoritmov, poprípade nájsť spôsob pre rozšírenie programu do tretej dimenzie a tým ukázať aj princípy vytvárania ploch pomocov trojrozmerných spline kriviek. Ďalším smerom ktorým by sa mohol program uberať je pridanie rozhranie pre zobrazovanie teorie o danej krivke, čiže by sa užívateľ mohol hneď pri demonstrácii vzdelávať aj v teórii kriviek.

Náš výukový program, spoločne s ostatnými výukovými programmy, ktoré sú v tomto školskom roku vyučované v rámci predmetu Bakalárska práca ostatnými študentami by mohli slúžiť ako ineraktívna učiteľská pomocka a tým významnou mierou prispieť k skvalitneniu výuky na našej fakulte ako aj pomôcť ostatným študentom pri samovýuke.

# Literatura

- [1] Using Qt 4.0 with Visual Studio 2005. [online].  
URL <http://www.tellus.se/qt/tutorial.pdf>
- [2] Geometrie/Úvod do křivek. [online], septeber 2008.  
URL [http://cs.wikibooks.org/wiki/Geometrie/vod\\_do\\_kivek](http://cs.wikibooks.org/wiki/Geometrie/vod_do_kivek)
- [3] Microsoft Visual Studio. [online], december 2008.  
URL [http://en.wikipedia.org/wiki/Microsoft\\_Visual\\_Studio](http://en.wikipedia.org/wiki/Microsoft_Visual_Studio)
- [4] Qt - Wikipedia, the free encyclopedia. [online], deceber 2008.  
URL [http://en.wikipedia.org/wiki/Qt\\_\(toolkit\)](http://en.wikipedia.org/wiki/Qt_(toolkit))
- [5] C++. [online], január 2009.  
URL <http://en.wikipedia.org/wiki/C%2B%2B>
- [6] Výukový program. [online], november 2009.  
URL [http://cs.wikipedia.org/wiki/Vukov\\_program](http://cs.wikipedia.org/wiki/Vukov_program)
- [7] Žara J., F. P., Beneš B.: *Moderná počítačová grafika. 1. vyd.* Praha, Computer press, 1998,  
ISBN 80-7726-049-9.